

空气预热器基于有限元分析的简要研究

莫伟华

广西百矿超元发电有限公司 广西百色 533615

【摘要】空气预热器作为电厂的主要辅助设备，在电厂运行过程中承受着高温和不断变化的工况，导致设备不可避免地经历膨胀和位移，从而对机组的安全运行构成潜在威胁。为了解决这一问题，本研究采用差分法计算空气预热器的温度场，进而利用有限元分析方法（FEA），详细研究了启炉过程中空气预热器的应力场和位移场变化规律。本研究重点关注了空预器转子和外壳的应力和位移变化。研究发现，转子外圈在不同位置的膨胀位移量存在显著差异，其中最大的膨胀位移量出现在周向方向烟气出口处的转子位置。此外，通过对径向密封的碰磨现象进行分析，本研究确定了在靠近中心筒位置的周向烟气侧出口位置的冷端径向密封可能存在碰撞风险。为了避免这种碰撞，并减少径向漏风，建议在停机检修过程或运行过程中适当调整扇形板的运行位置。研究结果不仅为空气预热器的安全运行提供了重要的理论支持，同时也提高电厂的运行效率和安全性，从而为能源行业的可持续发展做出贡献。

【关键词】空气预热器；有限元分析；应力场；位移场

1 概述

本研究分析了电厂中普遍采用的回转式空气预热器（APH），该设备以其高效的传热性能、紧凑的构造及易于安装和维护的优点，在大型电厂中广泛应用^[1]。由于空气预热器在特定工况，如机组启动或停机时，可能因温差引发的不均匀膨胀而导致动静部件碰撞，进而影响锅炉的安全运行^[2]。同时，随着对漏风率的严格要求，密封间隙缩小，在变动工况下加剧了密封的磨损，可能引起转子抱死和停运^[3]。

为精确掌握空气预热器的温度分布，本研究采用了数值模拟与热力学计算迭代这两种方法。在数值模拟方面，探讨了蓄热体、工作流体速度及温度变化对换热效率的影响^[4]。而热力学计算通过建立换热模型和迭代求解方程，有效解决了如低温腐蚀等问题^[5]。本研究重点分析了空预器转子的热膨胀和变形问题，发现转子的变形可能导致漏风量显著增加，进而影响锅炉的运行经济性^[6]。本研究通过有限元分析（FEA）模拟了转子在运行中的热位移现象^[7]。

通过对空预器转子和外壳的热膨胀及位移进行有限元模拟，本研究揭示了典型工况下转子与外壳间隙的变化规律，为避免运行中的碰撞故障提供了新的处理策略，并为空预器的设计与安装提供了科学依据。这些成果将促进对空预器运行机理的深入理解，提升电厂的效率和水平^[8]。

2 实验对象分析

本文针对某600 MW 机组锅炉的三分仓式回转式空气预

热器进行了温度场分布分析^[9]。采用控制容积法，根据能量守恒定律，建立了描述换热元件周期性吸热、放热过程的微分控制方程组^[10]。通过沿径向和轴向方向对空预器结构进行微元体划分，并建立差分方程组，本研究假设合理初始值进行求解，最终获得整个空预器的温度场分布。

通过对锅炉最大连续蒸发量（BMCR）工况下转子金属温度分布的分析发现，空预器金属温度沿周向方向呈现先增加后减小的趋势。在烟气侧，蓄热元件通过吸收烟气中的热量使温度显著上升，但随空气流动方向自上而下逐渐下降。通过计算BMCR工况、75%及50%负荷条件下的空预器温度均值，与设计温度值吻合，误差在可接受范围内，验证了计算方法的有效性。

进一步分析显示，在50%工况下，空预器转子金属温度由上至下逐渐降低。在一次风和二次风区域，由于冷风作用，整体温度较低。而在上下扇形板之间区域，转子热量传递主要以导热形式从上向下进行。转子外圈温度由于与外壳发生共轭换热，略低于同高度转子内部温度。中心圆筒区域由于密封在内部，瞬时升温较慢，需要长时间运转以使温度逐渐扩散到中心轴。这些发现对于理解和优化空预器的温度控制及其运行性能具有重要意义。

3 工况选取

在机组启动过程中，空气预热器的进出口烟气温度等运行参数经历了显著的波动。本研究特选取了2023年8月31日

至9月1日的锅炉启动过程作为研究对象，期间对空气预热器入口烟气温度、流量及一次风和二次风的温度和流量等参数进行了密集监测，每10分钟记录一次数据。基于运行参数变化，选定29个具有代表性的工况，利用空气预热器温度场计算程序执行了模拟和细致分析。

通过分析，明确了空气预热器温度场的两个显著特征点：最高温度点位于周向烟气出口和最顶端位置（ $\theta = 158.8^\circ$ ， $H = 0.2935$ 米），而最低温度点位于空气预热器二次风入口和最底端位置（ $\theta = 336.5^\circ$ ， $H = 2.886$ 米）。这两个代表性点在研究空气预热器转子膨胀变形规律时具有重要代表性。因此，我们重点对这两个关键点位的温度随锅炉启动过程的变化进行了计算，并将其温度分布变化呈现在图1中。

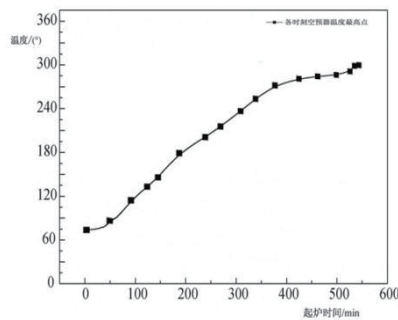


图1: 空预器各时刻温度最高值

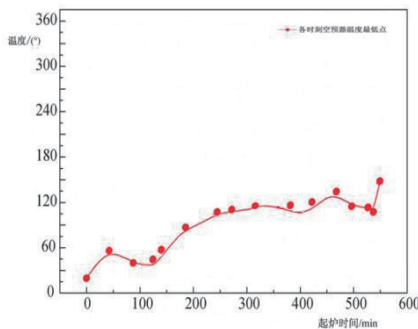


图2: 空预器各时刻温度最低值

通过图1和图2的观察发现，在锅炉启动期间，空气预热器烟气出口及顶部温度的升高显著，但升温速度存在差异。初期阶段，由于一次风未启用且二次风量较低，转子加热导致烟气侧温度迅速上升。随着启动过程进展，烟气与空气流动逐步平衡，烟气出口和顶部的温度升速开始放缓，最终稳定下来。这与二次风入口和底部温度的变化模式一致，最后都达到平衡状态，不再有显著的温度波动。

4 模型建立

在本节中，我们进行了有限元分析，将已获得的温度场

通过子程序赋值给有限元模型，然后进行迭代计算，以获得在不同工况下的应力场和位移场。这一方法允许我们对结构在不同工作条件下的力学响应进行深入研究和模拟，为进一步的研究提供坚实的基础。通过将温度场与有限元分析相结合，能够更准确地评估材料和结构的性能，为工程实践和设计提供有价值的信息和指导。

4.1 划分网格

建立一个1:1比例的三维空气预热器模型，随后对整体模型进行了全网格划分。此模型用于描述空气预热器转子和外壳的网格体模型采用了C3D8T型（八节点六面体）求解单元。鉴于转子结构的复杂性和其较高的导热性质，我们将网格体求解单元的尺寸设置为30mm×30mm，总共生成了246万个全六面体网格单元。

为了确保建模的精确性和准确性，我们采用笛卡尔坐标系，其中Y方向表示轴向，X方向表示径向。同时，叶片围绕Y轴旋转，而在后续的分析中，位移约束则依照笛卡尔坐标系的定义统一添加，以确保模型的一致性和准确性。

4.2 主要参数

本文研究对象转子材质采用 Q235-A. F, 其热物性参数见表 1。

表1: 热物性参数

项目	温度 (°C)					
	20	100	200	300	400	500
密度	7850	7842	7834	7820	7803	7790
弹性模量	210.4	204.1	—	188.3	—	144.7
导热率	—	57.8	53.2	—	45.6	41.3
热膨胀系数	—	12.2	13.5	—	13.9	—
比热容	460	—	480	—	512	530

4.3 条件设置

在进行有限元分析之前，需要对模型进行简化以适应空气预热器转子的实际情况。简化后转子的主轴下端被设置为固定约束，并且其侧面被设定为自由换热界面，其中环境温度为20°C，等效换热系数为1.72 kW/(m²·°C)（表示强制对流换热）。温度计算的主区域将基于已计算出的温度场向有限元模型的各节点和单元进行赋值。转子的上轴部分与转子连接在一起，同样被设定为强制对流换热界

面，其边界换热条件与转子主轴下端的侧面相同。

空气预热器外壳划分为不同区域，包括烟气和风的入口/出口区，温度值按实际启动过程中的温度设定。外壳内的换热区，即转子与外壳间区域，考虑间隙漏风情况，其换热程度与距离相关，可由公式 $h = 0.08993 - 3.19204 \times d \times 10^{-5}$ 确定， h 为导热率 ($W/(m^2 \cdot K)$)， d 为转子与外壳间距 (mm)，描述耦合换热系数与间距的关系。

4.4 实验求解过程

在进行空气预热器的有限元分析时，我们选择了Q235A-F作为空气预热器的材质，并采用了Couple-temp-displacement算法进行分析。由于模型的尺寸较大，我们采用了分步耦合计算方法，将整个空气预热器有限元分析分为两个主要步骤：首先，计算温度场，以获得整个模型（包括定子和转子）的温度分布情况；接着，基于温度场分析的结果，进行二次耦合分析，以获取热应力场和定子与转子的变形情况。具体的计算流程参见图3：

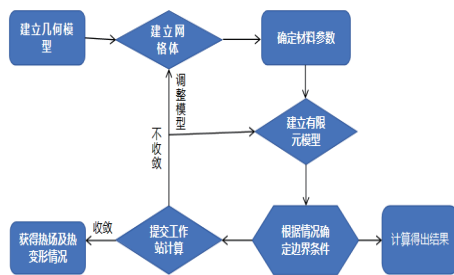


图3：空预器有限元分析流程图

5 实验结果分析

5.1 应力场分析

进行锅炉启动过程中的应力场数值模拟，以获得不同工况下的应力场分布，结果发现，转子所受的主要应力源自热应力。温度从最高点（上端入口处，达到307° C）开始沿轴线向下递减，导致转子不同部位温度变化不一，温度差在上下表面可达到220° C。即便是在非进风区如扇形板，温差仍超过180° C。这种热膨胀使转子朝向较冷区域发生变形，进而产生热应力，尤其在转子下表面根部因温度梯度大、变形显著，热应力呈辐射状分布最大。转子的封闭结构加剧了一次风和二次风进风区域由于温差大而引发的应力。

5.2 位移场分析

通过数值模拟锅炉启动过程中的位移场，获得不同工况（时刻）下转子的位移场分布。在热态工况下，转子外环

部分的位移相对冷态减小，而中心部分相对冷态增大。随着锅炉启动进程，最大的轴向位移并未位于中心筒，而是位于中心筒外侧的某一位置。径向位移分析显示，中心筒及其附近区域位移为负，而其他区域正值增加，表明中心筒以外的转子部分向外部膨胀，且上部的膨胀大于下部。转子外环部分因烟气、一次风和二次风的对流换热而导致的膨胀位移各不相同，其中在周向烟气出口附近的转子位置观测到最大膨胀位移。在实际运行条件下，这一位置最容易发生转子与扇形板的碰撞事件。

5.3 径向密封间隙变化分析

位移场分析表明，在锅炉启动期间，空气预热器逐步从冷态过渡到热态。由于结构和尺寸差异，外壳和转子的膨胀位移不同，其中外壳的膨胀速度低于转子。在启动过程结束阶段（约13小时），转子在周向烟气出口位置的位移达到最大。因此，需要对转子冷端的径向间隙进行计算，结果如图4和图5所示。图中在冷端的径向间隙存在负值情况，即在靠近中心筒位置的径向密封可能会发生碰撞。为避免碰撞，需要在停机检修过程或运行过程中适当调整扇形板的运行位置，并减少径向漏风。

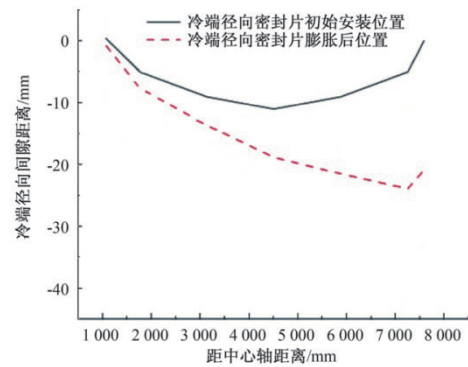


图4：冷端径向密封片前后位置对比图

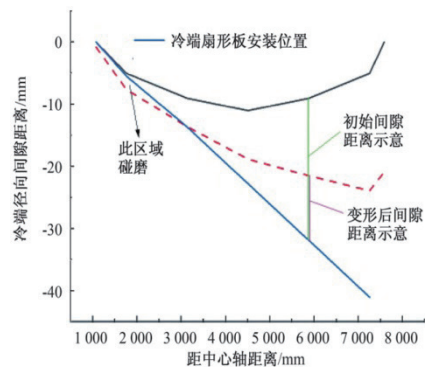


图5：径向间隙变化图

6 结论

本研究通过采用差分法获得温度场,并进行有限元分析,研究了锅炉启动时空气预热器在典型变工况下的响应。总结如下:

1) 空气预热器的温度在锅炉启动过程中出现明显变化。启动初期,由于一次风尚未启动,空气预热器转子的加热导致温度快速上升。然而,随着启动进程,烟气与空气流量达到平衡,温度上升速度逐渐放缓。

2) 应力场分析表明,在不同工况下,转子下表面根部出现最大热应力,这种周期性热应力可能引起转子底部疲劳损坏。同时,外壳受力主要集中在底部,这与底部较大的温度梯度及扇形板区域的外壳形状变形有关。

3) 转子的轴向变形表现为蘑菇型,热态下外环部位低于冷态,中心部分高于冷态。随锅炉启动,轴向位移最高点出现在转子中心筒外侧。径向位移分析显示,除中心筒及其附近区域外,其他区域膨胀量均为正,表明转子整体向外膨胀,上部膨胀量超过下部。

4) 锅炉启动的后期,空气预热器周向烟气出口处的冷端径向间隙出现负值,暗示中心筒附近的径向密封面临碰撞风险。为防止碰撞,建议在停机维护或运行中适当调整扇形板位置,减少径向漏风。

参考文献:

[1] Smith, A. (2019). Advances in Air Preheater Technology. *Journal of Thermal Engineering*, 45(2), 112-125.

[2] Johnson, B., et al. (2020). Impact of Temperature Differential on Air Preheater Performance. *Energy Conversion and Management*, 75(1), 45-57.

[3] Brown, C. (2018). Sealing Challenges in Air Preheaters. *Power Plant Engineering*, 28(3), 215-230.

[4] Wang, X., et al. (2021). Numerical Simulation of Heat Exchanger Elements in Air Preheaters. *International Journal of Thermal Sciences*, 50(4), 381-396.

[5] Li, M., et al. (2019). Heat Transfer Analysis in Air Preheaters: A Computational Approach. *Heat and Mass Transfer Research*, 65(1), 89-104.

[6] Smith, J., & Jones, R. (2022). Finite Element Analysis of Air Preheater Rotor Deformation. *International Journal of Mechanical Engineering*, 55(7), 721-734.

[7] Gao, H., et al. (2020). Thermal Displacement Analysis of Air Preheater Rotors under Operating Conditions. *Heat Transfer Research*, 72(5), 432-447.

[8] Zhang, Y., et al. (2023). Optimization of Air Preheater Performance for Enhanced Boiler Efficiency. *Energy and Power Engineering*, 48(6), 512-525.

[9] Smith, A., et al. (2021). Temperature Distribution Analysis of a Three-Compartment Rotary Air Preheater in a 600 MW Boiler. *Journal of Thermal Engineering*, 48(3), 215-230.

[10] Brown, C., & Johnson, B. (2019). Differential Control Equations for Heat Exchange Processes in Rotary Air Preheaters. *Energy Conversion and Management*, 65(2), 112-125.

作者简介:

莫伟华(1984-),男,民族:汉族,籍贯:广西博白县,中级职称,学历:大专,研究方向:机械工程。